

УДК 541.44

ФИЗИЧЕСКАЯ ХИМИЯ

Е. Г. ПОНЯТОВСКИЙ, В. Е. АНТОНОВ, И. Т. БЕЛАШ

**О КРИТИЧЕСКИХ ЯВЛЕНИЯХ В СИСТЕМЕ Ni—Fe—H
ПРИ ВЫСОКИХ ДАВЛЕНИЯХ ВОДОРОДА**

(Представлено академиком Г. В. Курдюмовым 19 V 1976)

При комнатной температуре под давлением водорода ~ 6 кбар в никеле наблюдается превращение $\gamma_1 \rightarrow \gamma_2$, где γ_1 и γ_2 — фазы обедненного и обогащенного водородом раствора внедрения на базе г.ц.к. решетки никеля (¹, ²). Обратное превращение $\gamma_2 \rightarrow \gamma_1$ происходит при $P=3,4$ кбар (³). По мере повышения температуры гистерезис превращения уменьшается и при $\approx 300^\circ\text{C}$ и $P \approx 16$ кбар становится равным нулю; с повышением температуры уменьшается и скачок электросопротивления при переходе (⁴). Изоморфизм обеих фаз по решетке металла, исчезновение гистерезиса и уменьшение скачка электросопротивления при превращении дали основание предположить (⁴), что фазовая T — C -диаграмма системы Ni—H аналогична диаграмме системы Pd—H (⁵): имеется купол распада на обогащенную и обедненную водородом фазы. В этом случае кривая равновесия $\gamma_1 \rightleftharpoons \gamma_2$ в системе Ni—H в координатах T — P должна кончаться в критической точке при $\geq 350^\circ$.

Анализ результатов работы (⁶) об особенностях поведения электросопротивления сплавов Ni—Fe—H при комнатной температуре и высоких давлениях водорода привел нас к предположению, что в результате легирования никеля железом критическая температура расслоения $T_{\text{кр}}$ должна понижаться и при содержании Fe~40 ат.% достигать комнатной температуры.

Для проверки этого предположения в данной работе изучены T — P -диаграммы трех сплавов Ni—Fe—H (состава 5, 10 и 15 ат.% Fe) при температурах до 520°C и давлении водорода до 23 кбар. Давления превращений $\gamma_1 \rightarrow \gamma_2$ и $\gamma_2 \rightarrow \gamma_1$ определяли по изотермам зависимости электросопротивления образцов $R=R(P)$, точки Кюри — по изобарам температурной зависимости начальной магнитной проницаемости μ_0 , полученным методом дифференциального трансформатора (⁷).

Сплавы выплавляли в индукционной печи в атмосфере аргона из электролитического Ni и карбонильного Fe. Слитки подвергали гомогенизационному отжигу при 1100° в течение 24 час. с последующей закалкой в воде. Образцы изготавливали из фольги толщиной 0,05 мм. Температуру измеряли термопарой хромель — алюмель с точностью $\pm 5^\circ$, давление — мanganниковым манометром с точностью от $\pm 0,5$ кбар при $T \leq 350^\circ$ до $\pm 1,0$ кбар при $T \sim 500^\circ$.

На рис. 1 приведены изотермические кривые зависимости электросопротивления сплава с 10 ат.% Fe от давления водорода. Кривые получены следующим образом. Давление при постоянной температуре изменялось ступенями через 1—1,5 кбар. Образец в каждой точке при постоянных T и P выдерживали до насыщения временной зависимости электросопротивления $R=R(\tau)$ и на график наносили конечное значение R . Кинетика превращения аналогична наблюдавшейся ранее в системе Ni—H (⁴). Из рис. 1 видно, что превращение становится безгистерезисным начиная с $T \sim 200^\circ$. С повышением температуры скачок сопротивления при переходе уменьшается. При 250° переход начинает заметно размываться, а при

300 и 350° скачок электросопротивления исчезает и кривые $R=R(P)$ приобретают вид, типичный для изотерм электросопротивления в закритической области, наблюдавшихся в металлическом перии⁽⁸⁾. Из изотерм электросопротивления, приведенных на рис. 1, следует, что кривая превращения I рода $\gamma_1 \rightleftharpoons \gamma_2$ сплава с 10 ат. % Fe на $T-P$ -диаграмме кончается в критической точке с координатами $250 < T_{kp} < 300^\circ$; $16 < P_{kp} < 19$ кбар.

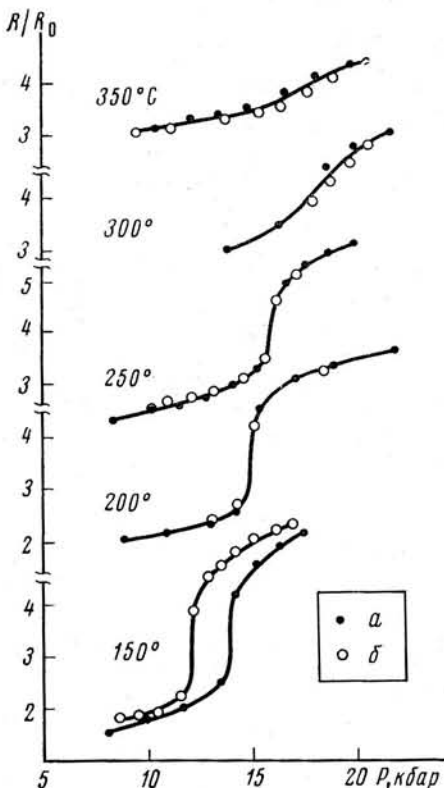


Рис. 1

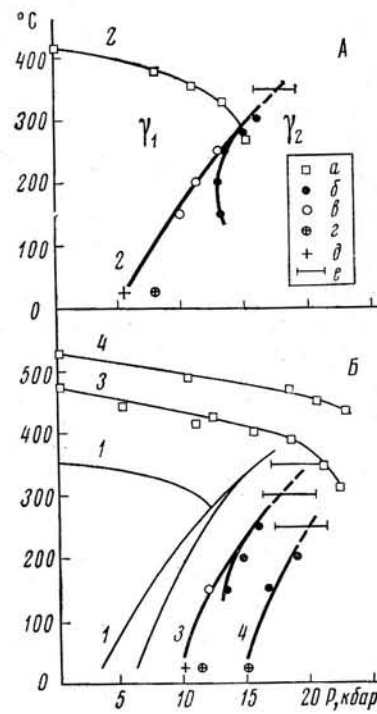


Рис. 2

Рис. 1. Изотермы электросопротивления сплава с 10 ат. % Fe. *a* — точки, снятые при повышении давления; *б* — при понижении, R_0 — сопротивление образца при 25° и $P=1$ бар

Рис. 2. $T - P$ -диаграммы сплавов системы Ni-Fe-H. 1 — Ni⁽⁴⁾; 2 — сплав с 5 ат. % Fe; 3 — с 10 ат. % Fe; 4 — с 15 ат. % Fe (*a* — точки Кюри; *б* — давления переходов $\gamma_1 \rightarrow \gamma_2$; *в* — $\gamma_2 \rightarrow \gamma_1$; *г*, *д* — давления тех же переходов при 25° , полученные интерполяцией данных⁽⁶⁾; *е* — области закритических аномалий электросопротивления)

Более точное определение координат T_{kp} и P_{kp} при высоких давлениях водорода требует разработки и применения специальных физических методов исследования и является сложной задачей, выходящей за рамки данной работы. Поведение кривых $R=R(P)$ сплавов с 5 и 15 ат. % Fe аналогично таковому у сплава с 10 ат. % Fe. Локализация критических точек на $T-P$ -диаграммах этих сплавов проводилась тем же методом.

По результатам измерения электросопротивления и μ_0 построены $T-P$ -диаграммы изученных сплавов, изображенные на рис. 2. Обратим внимание на следующую интересную особенность этих диаграмм. На $T-P$ -диаграмме сплава с содержанием 5 ат. % Fe, как и в случае Ni⁽⁴⁾, кривая точек Кюри оканчивается на кривой фазового перехода I рода $\gamma_1 \rightarrow \gamma_2$, а фаза γ_2 в исследованном интервале температур неферромагнитна. Кривая же точек Кюри сплава с 10 ат. % Fe расположена выше критической точки и переходит в γ_2 -область, плавно пересекая продолжение линии равновесия $\gamma_1 \rightleftharpoons \gamma_2$ в закритической области. То же относится и к

фазовой диаграмме сплава с 15 ат. % Fe. Следовательно, насыщенные водородом γ_2 -фазы в этих сплавах являются ферромагнетиками. Это, насколько нам известно, первый случай ферромагнитного упорядочения в 3d-металлах с высоким содержанием водорода. Изучение кривых точек Кюри дало дополнительную возможность уточнить положение критических точек расслоения на $T-P$ -диаграммах наших сплавов, так как эти кривые должны иметь разрыв при пересечении линии переходов I рода $\gamma_1 \rightarrow \gamma_2$ и $\gamma_2 \rightarrow \gamma_1$, ибо температура Кюри раствора является функцией его концентрации, а концентрация меняется скачком при переходах $\gamma_1 \rightarrow \gamma_2$ и $\gamma_2 \rightarrow \gamma_1$. Кривая точек Кюри сплава с 5 ат. % Fe обрывается на линии перехода $\gamma_1 \rightarrow \gamma_2$ при $\sim 270^\circ$, следовательно, T_{kp} выше этой температуры (рис. 2A). Отсутствие аномалий на кривых точек Кюри сплавов с 10 и 15 ат. % Fe указывает на то, что эти кривые лежат значительно выше областей критических явлений (рис. 2B).

Полученные значения T_{kp} как функция содержания железа в сплавах приведены на рис. 3. На этом же рисунке нанесена точка, соответствующая исчезновению скачка сопротивления на кривой $R=R(P)$, снятой при комнатной температуре⁽⁶⁾. Экстраполяция данных на чистый никель показывает, что в системе Ni—Н критическая температура должна быть расположена в интервале $350 < T_{kp} < 430^\circ$.

Если отвлечься от возможных процессов упорядочения водорода в сплавах Ni—Fe—Н при низких температурах и допустить, что свойства сплавов Ni—Fe—Н на базе г.ц.к. решетки металла можно экстраполировать на область сплавов, богатых железом, то, учитывая обнаруженные явления критического расслоения в этой системе, следует ожидать такого поведения богатых железом сплавов Fe—Ni (имеющих о.ц.к. структуру при нормальных условиях) по мере повышения давления водорода: сначала будет наблюдаться мартенситный переход α -фазы с о.ц.к. решеткой металла, в которой растворимость водорода низка⁽⁶⁾, в γ -фазу с г.ц.к. металлической решеткой, растворимость водорода в которой существенно выше. При дальнейшем повышении давления водорода будет происходить плавное увеличение его содержания в образовавшемся твердом растворе на базе γ -фазы вплоть до составов, близких к стехиометрическому. Скачки сопротивления, обнаруженные в работе⁽⁶⁾ при комнатной температуре на сплавах, содержащих 71,0; 75,7 и 80,7 ат. % Fe при давлениях водорода ~ 24 —28 кбар, по-видимому, и соответствуют именно мартенситному переходу $\alpha \rightarrow \gamma$.

Авторы благодарят К. А. Пересаду, А. Н. Грачева и А. И. Амелина, В. Г. Глебовского за помощь в подготовке и проведении эксперимента.

Институт физики твердого тела
Академии наук СССР
Черноголовка Московской обл.

Поступило
5 V 1976

ЛИТЕРАТУРА

- ¹ T. Skośkiewicz, Phys. Stat. Solidi (a), v. 6, 29 (1971). ² A. Janko, Bull. Acad. Polon. Sci., Sér. sci. chim., v. 8, 131 (1960). ³ B. Baranowski, K. Bocheńska, Roczniki Chem., v. 38, 1419 (1964). ⁴ Е. Г. Понятовский, В. Е. Антонов, И. Т. Белаш, ДАН, т. 229, № 2 (1976). ⁵ A. J. Maeland, T. R. P. Gibb, J. Phys. Chem., v. 65, 1270 (1961). ⁶ B. Baranowski, S. Filipek, Roczniki Chem., v. 47, 2165 (1973). ⁷ Г. Т. Дубовка, Е. Г. Понятовский, ФММ, т. 33, 640 (1972). ⁸ A. Yayaraman, Phys. Rev., v. 137, № 1A, 179 (1965).

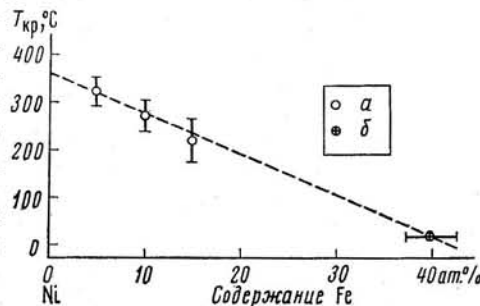


Рис. 3. Критические температуры T_{kp} системы Ni—Fe—Н в зависимости от концентрации сплавов Ni—Fe. a — наши данные; б — точка, полученная по данным⁽⁶⁾